

сообщения
объединенного
института
ядерных
исследований
дубна

P14-88-572

Л.Н.Зайцев*, Г.П.Решетников, В.И.Смирнов*

ВЛИЯНИЕ ОБЛУЧЕНИЯ
НА ВОЛЬТ-АМПЕРНЫЕ ХАРАКТЕРИСТИКИ
ВЫСОКОТЕМПЕРАТУРНОЙ СВЕРХПРОВОДЯЩЕЙ
КЕРАМИКИ $\text{YBa}_2\text{Cu}_3\text{O}_7$

* Московский инженерно-физический институт

1988

В работе^{1/} синтезированы образцы металлооксидной керамики состава $\text{YBa}_2\text{Cu}_3\text{O}_7$, с сильно выраженным эффектом Мейснера, высокой критической температурой ($T_c = 92$ К) и наиболее узкой шириной перехода. Представляет определенный интерес^{2/} установить влияние высокоэнергетичного облучения на вольт-амперные характеристики (ВАХ) и, следовательно, на плотность критического транспортного тока через образец этой высокотемпературной сверхпроводящей керамики (ВТСП), т.к. в литературе отсутствуют данные по облучению такой керамики частицами высоких энергий.

В настоящей работе нами использованы приготовленные по методике, близкой к описанной в^{3/}, образцы из компонентов Y_2O_3 , Ba_2O , CuO , обозначенные индексами Д1 и Д10, и из компонентов Y_2O_3 , Ba_2O , Си с индексами Д6 и Д8. Температура перехода в сверхпроводящее состояние без внешнего магнитного поля до облучения этих образцов составляла $T_c = 92$ К, а ширина $\Delta T_c \leq 1$ К.

УСЛОВИЯ ОБЛУЧЕНИЯ ОБРАЗЦОВ

Образцы $\text{YBa}_2\text{Cu}_3\text{O}_7$ -керамики подвергались фракционированному облучению при комнатной температуре на выведенных пучках протонов с энергией $E_p = 8,09$ ГэВ и ядер ^{12}C с энергией $E = 3,65$ ГэВ/нуклон синхрофазотрона и на пучке протонов с энергией $E_p = 660$ МэВ в районе "выпускного окна" фазотрона ОИЯИ.

Мониторирование облучения при дозах $D < 10^6$ Гр осуществлялось цветовыми пленочными детекторами (ЦПД), как описано в работе^{4/}. Сканирование с помощью микрофотоспектрометра позволяет определить пространственное распределение дозы по образцу с погрешностью не хуже 12%. Возможности ЦПД проиллюстрированы на рис.1, где показаны профили дозы при облучении образцов в пучке ядер ^{12}C , измеренные с помощью ЦПД и пропилючной ионизационной камеры. При дозах $D > 10^6$ Гр и больших мониторировании проводилось по наивысшей активности и алюминиевых фольгах, в которые занорачивались образцы, по реакции $^{27}\text{Al}(\phi, 3\rho)^{29}\text{Na}$. В этом случае определялся средний флюенс (Φ), детальное распределение дозы по объему образца оставалось неизвестным. Коэффициенты пересчета флюенса в дозу (на одну цветницу) приведены следующие:

для протонов	$E_p = 8,09$ ГэВ	$2,4 \cdot 10^{-10}$ Гр·см ²
для ядер ^{12}C	$E = 3,65$ ГэВ/нуклон	$2,9 \cdot 10^{-10}$ Гр·см ²
		$1,7 \cdot 10^{-9}$ Гр·см ²

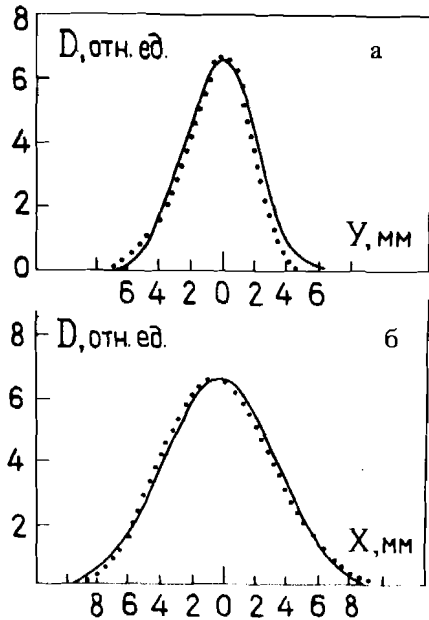


Рис.1. Вертикальный (а) и горизонтальный (б) профили дозы в пучке ядер углерода при облучении ВТСП-керамики. Измерения сделаны с помощью проволочной ионизационной камеры (точки) и ЦДП (сплошные линии).

В табл.1 приведены данные об условиях облучения образцов ВТСП-керамики. Ошибка в определении дозы не превышает 20%. Первые два сеанса облучения при одинаковой энергии протонов $E_p = 8,09$ ГэВ отличаются мощностями доз: 0,153 Гр/с и 14,5 Гр/с, соответственно, из-за различного положения образцов относительно мишени. Максимальная мощность дозы при облучении на "выпусканом окне" фазotronа ≤ 300 Гр/с, возможна, могла привести к повышению температуры облучаемого образца до 400 К.

можно, могла привести к повышению температуры облучаемого образца до 400 К.

ВОЛЬТ-АМПЕРНЫЕ ХАРАКТЕРИСТИКИ ОБРАЗЦОВ

Измерения ВАХ образцов проведены по стандартной 4-контактной методике при температуре жидкого азота без дополнительного внешнего магнитного поля. Характеристики образцов, имеющих размеры $1 \times 1 \times 5 \cdot 10^{-3}$ мм, измерялись с помощью прижимных подпружиненных полюсочных kontaktов. Усилие прижима как потенциальных, так и токовых kontaktов регулировалось с целью получения минимального контактного сопротивления.

Потенциальные выводы выполнены из полюсочных игл, рабочие сечения и фиксированное расстояние, составлявшее в разных измерениях от 2 мм до 6 мм. Сопротивление этих kontaktов составило $10^4 - 30$ Ом. Токовые kontaktы на концах образцов имели поверхность конусной формы, что увеличивало площадь и уменьшало сопротивление kontaktов, составившее $0,3 - 1,0$ Ом. Использование в прижимных kontaktах проницющей серебряной пасты приводило к увеличению контактного сопротивления.

Измерения на образцах с размерами $1 \times 4 \times 10^{-3}$ мм выполнены с помощью kontaktов (токовых и потенциальных), изготовленных из тиранита и поверхность образца сплава Вуда с последующей пайкой индийным припоем. При этом токовые kontaktы имели сопротивление $0,5 - 1,0$ Ом,

Таблица 1. Условия облучения образцов ВТСП-керамики $YBa_2Cu_3O_7$

Номер	Город	Энергия, ГэВ	Режим	Энергия, ГэВ	Протон	Адро	И2С	$E_p = 60$ МэВ	Протон	Флюенс (Ф)	Суммарная доза (Д)
1	Санкт-Петербург	8,09	1,5 · 10 ⁻²	1,5 · 10 ⁻²	1,0 · 10 ¹⁶	2,0 · 10 ¹³	—	—	1,05 · 10 ¹⁶	—	—
2	Санкт-Петербург	8,09	1,5 · 10 ⁻³	1,5 · 10 ⁻³	3,0 · 10 ⁶	3,5 · 10 ⁴	—	—	3,18 · 10 ⁶	—	—
3	Санкт-Петербург	8,09	1,5 · 10 ⁻²	1,5 · 10 ⁻²	5,0 · 10 ¹⁶	—	—	—	1,0 · 10 ¹⁸	1,05 · 10 ¹⁸	—
4	Санкт-Петербург	8,09	1,5 · 10 ⁻³	1,5 · 10 ⁻³	1,5 · 10 ⁷	—	—	—	2,9 · 10 ⁸	3,1 · 10 ⁸	—
5	Санкт-Петербург	14,5	1,5 · 10 ⁻²	1,5 · 10 ⁻²	6,5 · 10 ¹⁵	—	—	—	5,8 · 10 ¹⁷	5,81 · 10 ¹⁷	—
6	Санкт-Петербург	14,5	1,5 · 10 ⁻³	1,5 · 10 ⁻³	2,2 · 10 ⁵	—	—	—	1,7 · 10 ⁸	1,7 · 10 ⁸	—
7	Санкт-Петербург	14,5	1,5 · 10 ⁻²	1,5 · 10 ⁻²	—	—	—	—	—	—	5,5 · 10 ¹³
8	Санкт-Петербург	14,5	1,5 · 10 ⁻³	1,5 · 10 ⁻³	—	—	—	—	—	—	9,4 · 10 ⁴

а потенциальные — около 30 Ом. Для некоторых подобных образцов использовался комбинированный вариант: токовые контакты прижимные, а потенциальные — либо припаянные, как указано выше, либо приклеенные серебряной проводящей пастой с последующим покрытием kleem БФ-6 для увеличения их механической прочности. Потенциальные контакты, приготовленные с помощью проводящей серебряной пасты, имели сопротивление около 15 Ом.

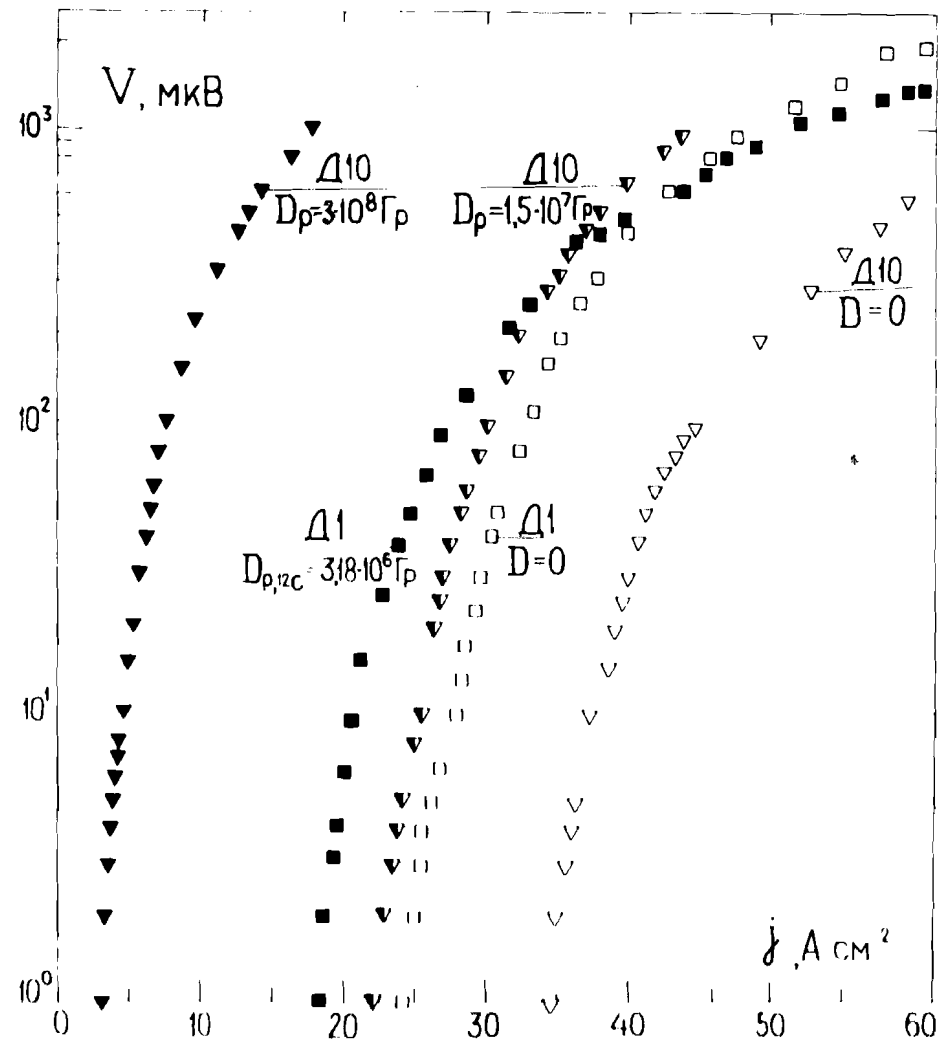


Рис. 2. Вольт-амперные характеристики ВПСИ образцов $\Delta 1$ (квадраты) и $\Delta 10$ (трехугольники). Данные измерены до облучения обозначены сквозными точками, после промежуточной дозы — частично затемненными и после суммарной дозы — темными.

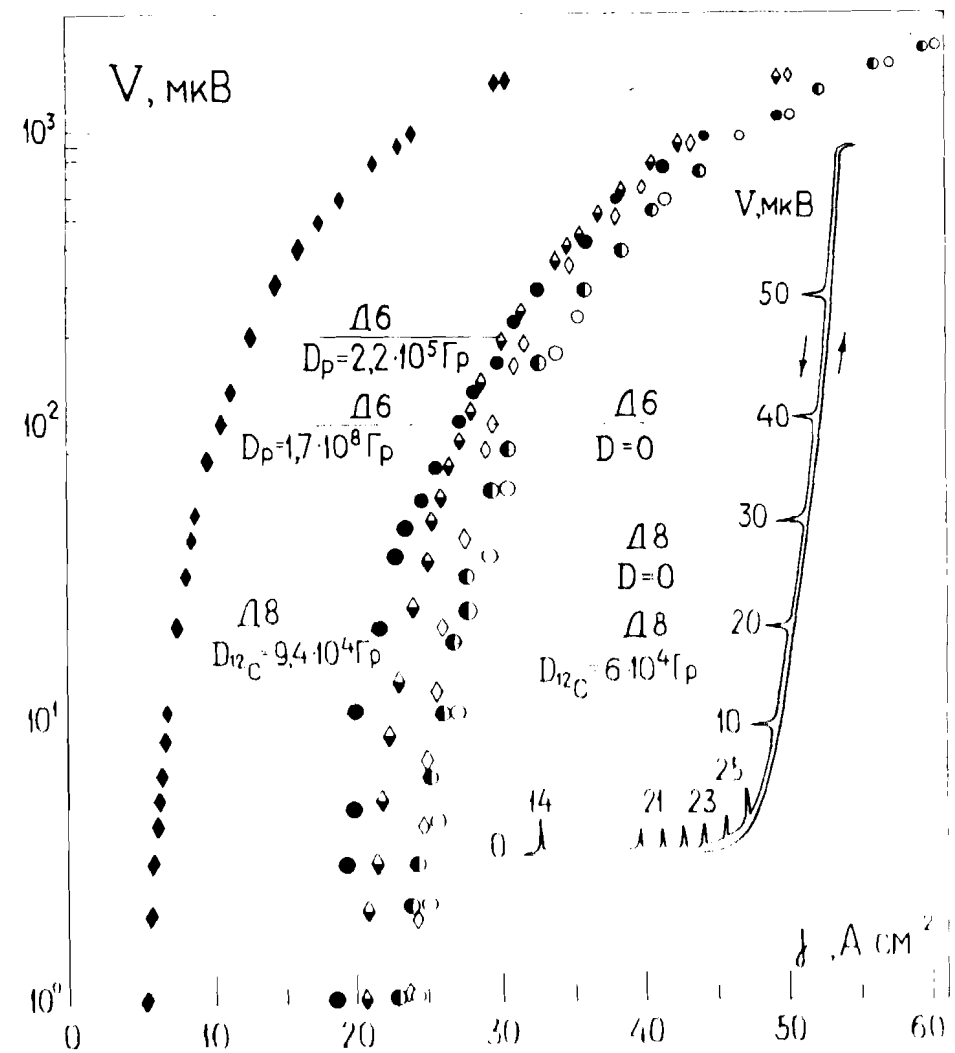


Рис. 3. Вольт-амперные характеристики ВПСИ образцов $\Delta 6$ (ромбы) и $\Delta 8$ (кружки) до облучения — сквозные точки, после промежуточной дозы — частично затемненные, после суммарной дозы — темные точки. В правой части рисунка показана вольт-ВАХ с помощью самотеста по горизонтальной оси — погодить точки в обратном направлении — напряжение на потенциальных анодах.

Наименьшим сопротивлением и лучшей механической прочностью обладали контакты из позолоченной проволоки, запрессованной в некоторые образцы при их изготовлении. Сопротивление потенциальных и токовых контактов таких образцов составляло около 0,1 Ом.

При измерении ВАХ образцы в держателе, обеспечивающем фиксацию контактов, помещались в ванну с жидким азотом. Напряжение на потенциальных контактах образцов измерялось с помощью нановольтметра Ф 128/1 и вольтметров В7-21 и В7-38. Приборная погрешность измерения напряжения составляла 5,0% в диапазоне 1÷10 мВ и 2,5% в диапазоне 10 мкВ÷10 мВ. Ток в образцах измерялся с помощью стандартных шунтов с погрешностью не более 0,5%.

С целью проверки возможного влияния разогрева контактов на результаты были проведены измерения критического тока образцов при питании отдельными импульсами тока треугольной формы с временем нарастания 10 мс и порогом регистрации напряжения на потенциальных контактах 5 мВ. При этом установлено, что влияние разогрева контактов незначительно, и данные согласуются с измеренными в режиме постоянного тока, по крайней мере, пока ток через образец не превышал 3 А.

На рис.2 и 3 приведены результаты измерений ВАХ образцов ВТСП-керамики до и после облучения. Результаты воспроизвелись много-кратно как в процессе нарастания, так и при снижении тока. Описанная методика позволила также измерить изменение удельного сопротивления образцов при комнатной температуре в зависимости от дозы облучения и оценить при измерениях мощность тепловыделения в контактах.

РЕЗУЛЬТАТЫ ИЗМЕРЕНИЙ И ОБСУЖДЕНИЕ

В табл.2 даны результаты измерений плотности критического тока в образцах при пороговом напряжении на потенциальных выводах, равном 1 мкВ. Здесь же приведены величины промежуточных и суммарных флюенсов и доз, а также результаты измерений удельного сопротивления образцов при комнатной температуре (ρ). Относительное изменение плотности критического тока в образцах данной ВТСП-керамики в зависимости от дозы облучения иллюстрирует рис.4. Здесь же показаны аналогичные данные^{7,8} для NbTi сверхпроводников, которые получались в речкоре ИЕРВ при комнатной температуре (кривая 1) и на ускорителе в Брукхейвенской лаборатории протонами с энергией 30 ГэВ при температуре 4,2 К (кривая 2).

Полученные данные свидетельствуют о том, что ВТСП-керамика $\text{U}_{\text{Ba}}_2\text{Cu}_3\text{O}_7$ значительно чувствительнее к облучению, чем сверхпроводники на основе NbTi сплава. Это согласуется с данными работ^{7,8}, в которых исследование зависимости $T_{\text{c}}/\Gamma_{\text{c0}}$ (Φ) и где аналогично, с ростом дозы (флюенса), наблюдалось регулярное повышение удельного сопротивления образцов в нормальных условиях. Деградация критиче-

Таблица 2

Номер	Коэффициенты для облучения ВТСП-керамики			Громкотональная доза			Суммарная доза		
	$\frac{\Phi_{\Sigma} \cdot \text{см}^{-2}}{D \cdot \text{Гр}}$	$\frac{\rho \cdot \text{см}^{-2}}{D \cdot \text{Гр}}$	$\frac{j_c(D)}{\text{A}/\text{см}^2}$	$\rho(D)$, $\Omega \cdot \text{см}$	$j_c(D)$, $\text{A}/\text{см}^2$	$\rho(D)$, $\Omega \cdot \text{см}$			
1	24,6	0,002	$4,5 \cdot 10^{14}$	23,4	0,00268	$1,05 \cdot 10^{16}$	$18,2$	0,00404	
2	34,7	0,0027	$5,0 \cdot 10^{16}$	22	0,00237	10^{18}	3,2	0,0077	
3	23,5	0,0023	$6,5 \cdot 10^{15}$	22	0,0028	$5,8 \cdot 10^{17}$	5,24	0,0263	
4	24	0,00235	$3,5 \cdot 10^{13}$	22,6	0,00178	$5,5 \cdot 10^{13}$	$18,7$	0,00283	

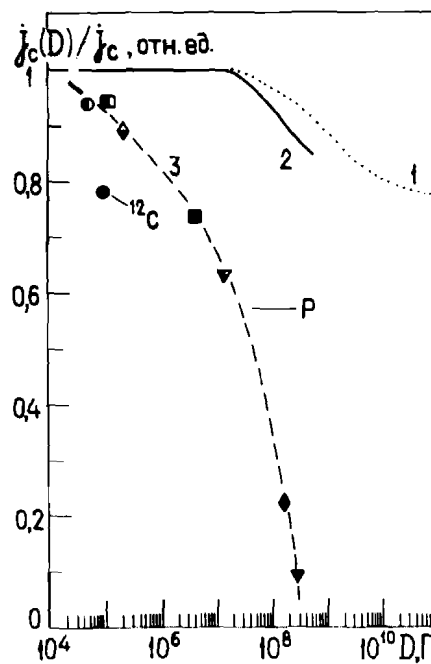


Рис.4. Зависимость от дозы плотности критического тока в образцах $\text{YBa}_2\text{Cu}_3\text{O}_7$ -керамики (3) при облучении протонами и ядрами углерода и в NbTi-сверхпроводниках при облучении реакторными нейтронами (1) и протонами с энергией 30 ГэВ (2). Результаты измерений обозначены значками в соответствии с обозначениями на рис.2 и 3.

керамика на порядок чувствительнее к флюенсу для значения T_c/T_{c0} ~ 0,5, чем Nb_3Sn -сверхпроводники.

Необходимо отметить также зависимость деградации критического тока ($j_c(D)/j_c$) от вида облучения, что хорошо иллюстрируют кривые 1 и 2 на рис.4. По видимому, такая зависимость при облучении частицами высокой энергии существует и для высокотемпературных сверхпроводников, т.к. на это указывает точка, помеченная индексом " ^{12}C ", полученная на пучке ядер углерода и лежащая значительно ниже кривой 3, полученной при облучении образцов, и основным, на протонных пучках (индекс "P"). Это подтверждается данными работы^[8], где отмечено, что разрушающий механизм, по видимому, одинаков для различных частиц и пропорционален числу сменивших ядро решетки.

В заключение авторы выражают глубокую благодарность В.Л.Аксенову и И.Н.Семенюкну за поддержку работы, В.Б.Васильеву и В.И.Луцикову за предоставление образцов ВТСП-керамики, а также Б.Д.Зельдину, А.Золинскому, В.И.Зорину, Р.Мисинку, А.Ф.Нонгородову, С.В.Чернову и А.Л.Шинкину за помощь при облучении и измерении дозовых агрегатов образцов.

ЛИТЕРАТУРА

1. Александров А.С. и др. Препринт МИФИ 032-87, М., 1987.
2. Васильев Б.В., Лущиков В.И. Препринт ОИЯИ Р14-87-463, Дубна, 1987.
3. Cava R.I. – Phys.Rev.Lett., 1987, v.58, No.4, p.408.
4. Астапов А.А. и др. Сообщение ОИЯИ 14-88-57, Дубна, 1988.
5. Snead C.L., Nicolosi L.J., Tremel W. – Appl.Phys.Lett., 1977, v.31, p.130.
6. Snead C.L. – Bull.Amer.Phys.Soc., 1976, v.21, p.295.
7. Антоненко С.В. и др. – Письма в ЖЭТФ, т.46, в.9, с.362.
8. Egner B. et al. – In: Proc. XVIII Int. Conf. on Low Temp.Physics, LT18, Aug.20-26, 1987, Kyoto, Japan, 1987, v.III, p.568.